

## Устойчивость ортотропных цилиндрических оболочек при изгибе поперечной силой. Сообщение 2. Эксперимент

**А. И. Маневич, Е. А. Пономаренко, Е. Ф. Прокопало**

Днепропетровский национальный университет, Днепропетровск, Украина

Представлены результаты экспериментального исследования устойчивости ортотропных цилиндрических оболочек при изгибе поперечной силой, выполненного на модельных оболочках. Описаны особенности процесса выпучивания в зависимости от параметров оболочек. Показано, что численное решение с помощью программного комплекса "ЛИРА", основанное на линейной теории устойчивости, может использоваться для расчета устойчивости упругих оболочек при поперечном изгибе во всем диапазоне относительных длин, охватывающем "сдвиговую" и "изгибную" формы выпучивания, с погрешностью порядка 10%.

**Ключевые слова:** ортотропная цилиндрическая оболочка, линейная теория устойчивости, поперечный изгиб, форма выпучивания.

**Введение.** Экспериментальные исследования устойчивости изотропных цилиндрических оболочек при изгибе поперечной силой (отдельно либо в сочетании с другими нагрузками) проводились в 1930–1970 годах [1–8]. Были описаны особенности процесса выпучивания и приведено сравнение экспериментальных данных с теоретическими, полученными при линейном расчете методом конечных разностей либо на основе приближенных оценок. Расхождение между расчетными и экспериментальными значениями критической силы, как правило, не превышало 30%. Следует отметить, что испытания проводились преимущественно на алюминиевых оболочках с достаточно низким пределом текучести.

Для анизотропных оболочек испытания на поперечный изгиб, по-видимому, не проводились.

В данной работе изложены результаты экспериментального исследования устойчивости ортотропных цилиндрических оболочек при изгибе поперечной силой. Испытания 77 оболочек малой и средней длины (относительная длина  $L/R$  изменялась от 1 до 10) позволяют оценить точность решения, полученного с помощью программного комплекса (ПК) "ЛИРА" методом конечных элементов в рамках линейной теории оболочек.

**Образцы для испытаний и методика эксперимента.** Экспериментальное исследование проводилось на модельных оболочках, изготовленных из ватмана (чертежной бумаги) марки "В" (ГОСТ 597-73). Возможность замены дорогостоящих образцов из металла моделями из ватмана при экспериментальных исследованиях устойчивости оболочек впервые была показана в работе [9]. Исследования [10–12 и др.] подтвердили целесообразность широкого использования ватмана при проведении массовых экспериментов по устойчивости оболочек при различных нагрузках. Наряду с высокой технологичностью и дешевизной ватман по сравнению с другими материалами обладает большим отношением предела текучести  $\sigma_y$  к модулю упругости  $E$ .

$(\sigma_Y/E = 3,6 \cdot 10^{-3})$ , для металлов обычно отношение  $\sigma_Y/E = (1...3) \cdot 10^{-3}$ . Поэтому деформация остается упругой в более широком диапазоне изменения параметров оболочек и нагрузки.

Ватман является ортотропным материалом. Модули упругости  $E_1$ ,  $E_2$ , коэффициенты Пуассона  $\nu_1$ ,  $\nu_2$  и пределы прочности  $\sigma_{b1}$ ,  $\sigma_{b2}$  в главных направлениях ортотропии бумаги заметно различаются. Для материала, используемого в данных экспериментах, эти величины таковы:  $E_1 = 6,9 \cdot 10^9$  Па,  $E_2 = 3,45 \cdot 10^9$  Па,  $\nu_1 = 0,3$ ,  $\nu_2 = 0,15$ ,  $\sigma_{b1} = 45$  МПа,  $\sigma_{b2} = 30$  МПа (определенены при специальных испытаниях плоских образцов в электромеханическом устройстве, позволяющем выполнять достаточно точные измерения). Толщина листа  $h$  составляет 0,24 мм.

Испытывали две серии оболочек, которые отличались ориентацией главных направлений ортотропии ватмана. В первой серии оболочки изготавливали так, чтобы направление с большим модулем упругости  $E_1 = 6,9 \cdot 10^9$  Па было ориентировано по образующей ( $E_x = E_1$ ,  $E_y = E_2$ ,  $E_y/E_x = 0,5$ ). Во второй серии больший модуль упругости отвечал кольцевому направлению ( $E_x = E_2$ ,  $E_y = E_1$ ,  $E_y/E_x = 2$ ). Диаметр всех оболочек был фиксирован и равнялся 75 мм ( $R/h = 156$ ). В каждой серии длина оболочек варьировалась в достаточно широком диапазоне – 37,5...450 мм ( $L/R = 1...12$ ). Для каждого выбранного значения  $L/R$  испытывалось, как правило, по три номинально идентичных оболочки (количество оболочек в первой серии составляло 44, во второй – 33).

Схема испытательной установки приведена на рис. 1. Поперечная сила создавалась грузом, усилие от которого передавалось на оболочку с помощью троса, блока и жесткого торцевого приспособления, закрепленного на оболочке. В эксперименте торцевые приспособления приклеивали к оболочкам, вследствие чего обеспечивалось их защемление. В процессе испытаний определяли критическое значение поперечной силы и форму волнообразования. В отдельных испытаниях записывали диаграмму деформирования оболочек. Отметим, что при предельной нагрузке наблюдалась ползучесть, деформации росли при постоянных напряжениях, поэтому при приближении к максимальной нагрузке проводилось достаточно медленно, чтобы не пропустить момент начала ползучести.

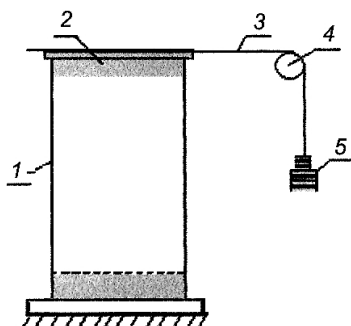


Рис. 1. Схема испытательной установки: 1 – оболочка; 2 – торцевое приспособление; 3 – трос; 4 – блок; 5 – груз.

**Формы выпучивания.** Формы потери устойчивости оболочек в эксперименте соответствовали полученным в численном расчете. Для оболочек малой длины наблюдалась сдвиговая форма (рис. 2,*a*), для оболочек большой длины – изгибная форма (рис. 2,*b*). Указанные формы достаточно близки к полученным путем расчета с помощью ПК “ЛИРА” [13]. В узком промежуточном интервале длин отмечалась “смешанная форма”, когда образовывались одновременно изгибающие складки в нижней части оболочки и боковые “сдвиговые” выпучины (рис. 2,*b*).

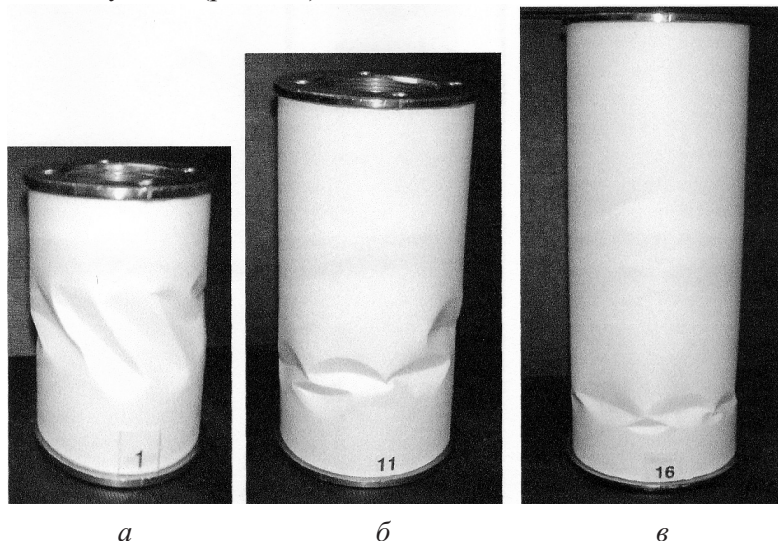


Рис. 2. Формы потери устойчивости оболочки при “поперечном” изгибе силой.

**Критические напряжения. Сравнение экспериментальных данных с расчетными.** Расчетные, полученные с помощью ПК “ЛИРА” [13], и экспериментальные зависимости критических сил от относительной длины оболочек серий 1, 2 приведены на рис. 3, где каждая точка представляет собой среднее значение силы, при которой происходило выпучивание, для трех испытанных оболочек. Там же указаны интервалы  $L/R$ , в которых реализовывались сдвиговая и изгибная формы выпучивания.

Экспериментальные точки располагаются несколько ниже расчетных значений, но достаточно близко к ним. Соответствие между расчетом и экспериментом оказывается хорошим во всем интервале  $L/R$  (1...10–12), включающем как сдвиговую, так и изгибную формы.

Данные, приведенные в таблице, иллюстрируют изменение отношения экспериментальной критической силы к расчетной  $Q^{exp}/Q^{calc}$  при изменении длины оболочек серии 1.

Расхождение между теоретическими и экспериментальными значениями критических сил для оболочек серии 1 составляет в среднем 9%, серии 2 – 11,7%, что существенно зависит от отношения  $L/R$ . В целом это отношение невелико, но возрастает в двух интервалах длин: для достаточно малых длин ( $L/R < 1,5$ ) и в узком их интервале, где происходит переход от сдвиговой формы выпучивания к изгибной. Здесь расхождение составляет до 18...20%.

**Отношение экспериментальной критической силы к расчетной для оболочек при  $E_y/E_x = 0,5$  (средние значения получены по данным трех испытаний)**

$L/R$	$Q^{exp}/Q^{calc}$	$L/R$	$Q^{exp}/Q^{calc}$
1,0	0,816	6,0	0,919
2,0	0,940	7,0	0,824
2,5	0,956	8,0	0,865
3,0	0,982	9,0	0,849
4,0	0,964	10,0	0,913
5,0	0,929	12,0	0,948

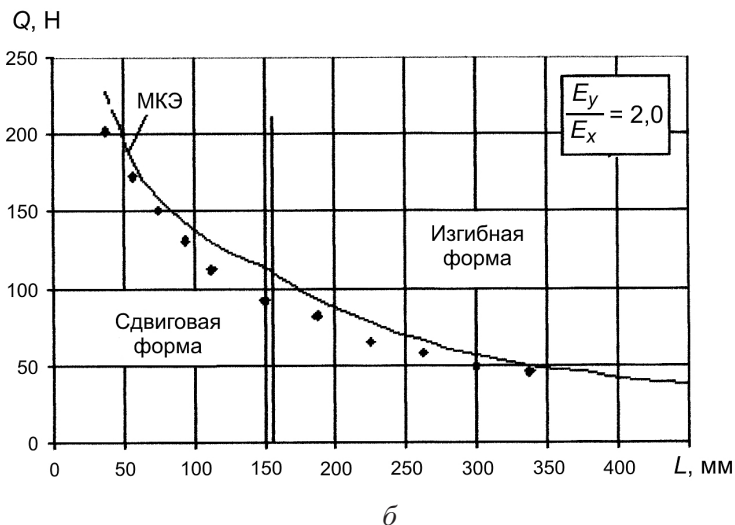
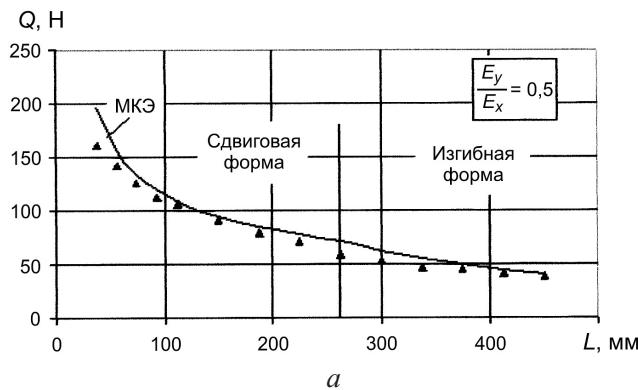


Рис. 3. Сравнение экспериментальных критических сил (точки) с расчетными по МКЭ на основе ПК “ЛИРА” (линии): *а*, *б* – соответственно оболочки серий 1 и 2.

Очевидной причиной этого является взаимодействие указанных форм выпучивания. В данной задаче это взаимодействие оказывается относительно слабым (по сравнению, например, со взаимодействием общих и местных форм в подкрепленных оболочках [14]) вследствие того, что наибольшие нормальные напряжения сжатия и касательные напряжения достигаются в разных зонах оболочки.

Отметим, что близость экспериментальных значений критических сил к расчетным согласно линейной теории в области изгибной формы выпучивания является достаточно неожиданной ввиду известной чувствительности к несовершенствам оболочек при сжатии и изгибе. Это, несомненно, связано со следующими обстоятельствами.

1. При поперечном изгибе напряженно-деформированное состояние будет существенно неоднородным (локализованным) как по кольцу, так и по длине (в отличие от кручения и чистого изгиба с неоднородностью только по кольцу).

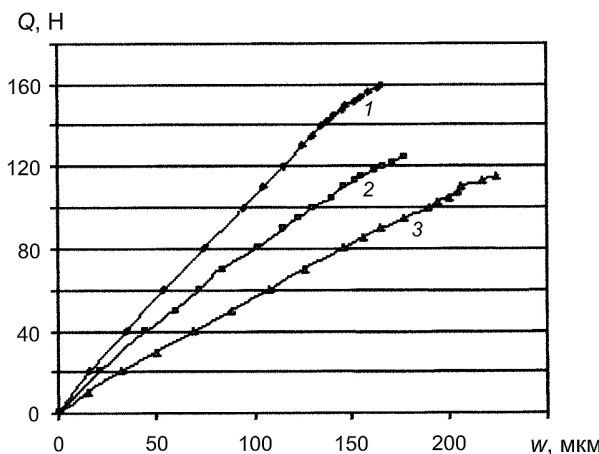


Рис. 4. Диаграммы деформирования некоторых оболочек серии 1: 1 –  $L = 37,5$  мм; 2 –  $L = 56,25$  мм; 3 –  $L = 75$  мм.

2. При испытаниях оболочек из ватмана практически отсутствует физическая нелинейность. На рис. 4 приведены типичные диаграммы деформирования оболочек разной длины – зависимости прогиба оболочки в крайнем верхнем сечении от величины критической силы. Эти зависимости близки к линейным вплоть до момента потери устойчивости.

## Выводы

1. Соответствие между расчетными (по МКЭ на основе ПК “ЛИРА”) и экспериментальными критическими силами оказывается хорошим во всем исследованном интервале  $L/R$  (от 1 до 10...12), охватывающем как сдвиговую, так и изгибную формы выпучивания. Расхождение составляет в среднем 9% для оболочек с большим модулем упругости в продольном направлении и 11,7% для оболочек с большим модулем в кольцевом направлении.

2. Отмечается эффект взаимодействия между сдвиговой и изгибной формами выпучивания при близости критических сил в диапазоне средних длин оболочек, приводящий к снижению экспериментальной критической нагрузки по сравнению с расчетной по линейной теории. Однако этот эффект относительно невелик (снижение нагрузки до 18...20%) вследствие того, что максимальные касательные и нормальные напряжения достигаются в различных зонах оболочки.

3. Экспериментальные формы потери устойчивости близки к расчетным.
4. Полученные результаты свидетельствуют о малости нелинейных эффектов и применимости линейной теории устойчивости к задаче устойчивости оболочек при поперечном изгибе (при условии малости физической нелинейности). Для практических расчетов можно принять, что согласно этой теории критические напряжения реальных оболочек в упругой области завышены примерно на 10%.

## Резюме

Наведено результати експериментального дослідження стійкості ортотропних циліндрических оболонок при згинанні поперечною силою, проведеного на модельних оболонках. Описано особливості процесу випинання в залежності від параметрів оболонки. Показано, що числовий розв'язок за допомогою програмного комплексу "ЛІРА", що базується на лінійній теорії стійкості, може використовуватися для розрахунку стійкості пружних оболонок під дією поперечного згинання у всьому діапазоні відносних довжин, що охоплює "зсувну" і "згинальну" форми випинання, з похибкою порядку 10%.

1. *Lundquist E. E. Strength Tests of Thin-Walled Duralumin Cylinders in Combined Transverse Shear and Bending // NACA TN 523.* – 1935. – 28 p.
2. *Минаев К. А. О работе тонкостенной цилиндрической оболочки при изгибе силой и парой сил // Техн. заметки ЦАГИ.* – 1936. – № 99.
3. *Даревский В. М. Устойчивость консольной цилиндрической оболочки при изгибе поперечной силой с кручением и внутренним давлением // Расчет пространственных конструкций.* – 1959. – Вып. 5. – С. 431 – 449.
4. *Туркин К. Д. Общая устойчивость подкрепленной цилиндрической оболочки при поперечном изгибе // Там же.* – С. 450 – 474.
5. *Ильгамов М. А. Экспериментальное исследование устойчивости консольно закрепленной цилиндрической оболочки под действием поперечной силы и внутреннего давления // Исследования по теории пластин и оболочек.* – 1964. – Вып. 2. – С. 186 – 191.
6. *Кабанов В. В. Исследование устойчивости оболочек методом конечных разностей // Изв. АН СССР. Механика твердого тела.* – 1971. – № 1. – С. 24 – 29.
7. *Григорюк Э. И., Кабанов В. В. Устойчивость круговых цилиндрических оболочек // Итоги науки. Сер. Механика. Механика твердых деформируемых тел.* – М.: ВИНИТИ, 1969. – 348 с.
8. *Григорюк Э. И., Кабанов В. В. Устойчивость оболочек.* – М.: Наука, 1978. – 360 с.
9. *Rhode R. V. and Lundquist E. E. Strength Tests on Paper Cylinders in Compression, Bending and Shear // NACA TN 370.* – 1931. – 31 p.
10. *Чебанов В. М. Исследование устойчивости тонкостенных оболочек при помощи моделей из бумаги // Инж. сб.* – 1955. – 22. – С. 68 – 73.

11. Прокопало Е. Ф. Экспериментальное исследование устойчивости цилиндрических оболочек при внешнем давлении, линейно изменяющемся вдоль образующей // Строительная механика и расчет сооружений. – 1988. – № 6. – С. 61 – 64.
12. Маневич А. И., Прокопало Е. Ф. Устойчивость ортотропных тонкостенных цилиндрических оболочек при кручении. Сообщ. 2. Эксперимент // Пробл. прочности. – 2008. – № 4. – С. 69 – 78.
13. Маневич А. И., Пономаренко Е. А., Прокопало Е. Ф. Устойчивость ортотропных цилиндрических оболочек при изгибе поперечной силой. Сообщ. 1. Теория // Там же. – 2013. – № 1. – С. 101 – 111.
14. Маневич А. И. Устойчивость и оптимальное проектирование подкрепленных оболочек. – Киев–Донецк: Вища шк., 1979. – 152 с.

Поступила 09. 03. 2011